

บทที่ 3

ทฤษฎีพื้นฐาน

บทนี้จะกล่าวถึงแบบจำลองทางคณิตศาสตร์ซึ่งสามารถอธิบายการเติบโตของพืช ที่เรียกว่าแบบจำลองการเติบโตของพืช (Growth model) ส่วนต่อไปจะกล่าวถึง วิธีการหาค่าพารามิเตอร์ของแบบจำลองการเติบโต โดยการถดถอยแบบไม่เชิงเส้น (Non-Linear Regression) ด้วยวิธีเลเวนเบิร์ก-มาร์ควาร์ดท์ (Levenberg-Marquardt) สำหรับ ส่วนสุดท้ายจะกล่าวถึงการสร้างภาพนามธรรมของพืช โดยใช้ L-System

3.1 แบบจำลองทางคณิตศาสตร์สำหรับการเติบโต (Growth Model)

แบบจำลองทางคณิตศาสตร์ที่จะกล่าวถึงในหัวข้อนี้ เป็นแบบจำลองที่มาจากสมการเชิงอนุพันธ์สามัญ (Ordinary Differential Equation) โดยจะกล่าวถึงแบบจำลองการเติบโตแบบเอกซ์โปเนนเชียล ซึ่งถูกพัฒนาต่อมาเป็นแบบจำลองการเติบโตแบบลอจิสติก และแบบจำลองการเติบโตแบบมัลติลจิสติก ตามลำดับ

แบบจำลองการเติบโตแบบเอกซ์โปเนนเชียล เป็นแบบจำลองแบบง่ายที่ใช้กันอย่างกว้างขวางในยุคแรก ซึ่งเป็นการเติบโตแบบไม่จำกัดหรือไม่มีขอบเขต ดังแสดงในรูป 3.1 อัตราการเติบโตของจำนวนประชากร $\frac{dG(t)}{dt}$ ที่เวลา t เป็นสัดส่วนโดยตรงกับจำนวนประชากร $G(t)$ เขียนอยู่ในรูปความสัมพันธ์ได้ดังนี้

$$\frac{dG(t)}{dt} \propto G(t)$$

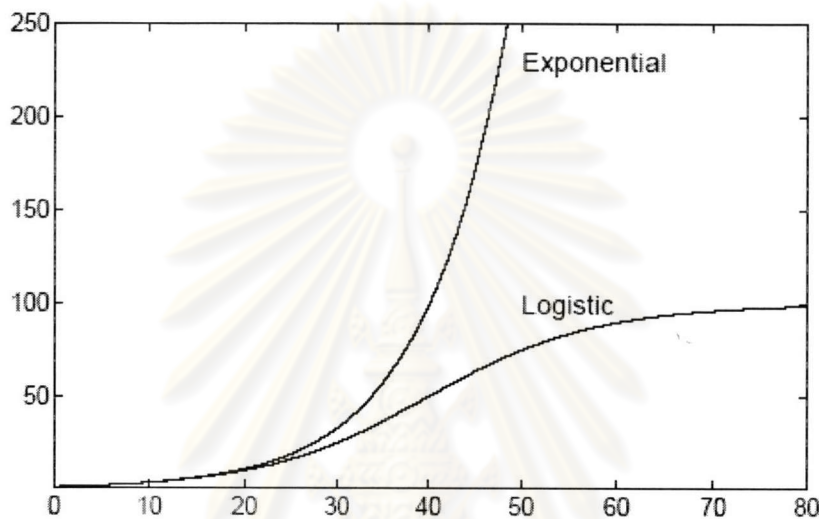
ดังนั้นแบบจำลองทางคณิตศาสตร์สำหรับการเจริญเติบโตแบบเอกซ์โปเนนเชียลเขียนในรูปสมการเชิงอนุพันธ์ได้ดังนี้

$$\frac{dG(t)}{dt} = \alpha G(t) \quad (3.1)$$

จากสมการ (3.1) แก้สมการแล้วเขียนอยู่ในรูปฟังก์ชันของ $G(t)$ ได้ดังนี้

$$G(t) = \beta e^{\alpha t} \quad (3.2)$$

โดยที่ α คือ อัตราการเติบโตของประชากร
 β คือ จำนวนประชากรเริ่มต้น $G(0)$



รูปที่ 3.1 การเติบโตแบบเอกซ์โปเนนเชียลและแบบลอจิสติก

แม้ว่าการเพิ่มขึ้นของประชากรของสิ่งมีชีวิตเป็นแบบเอกซ์โปเนนเชียล แต่การไม่มีขอบเขตการเติบโตหรือค่าจำกัดการเติบโต ทำให้ไม่สามารถใช้กับประชากรของสิ่งมีชีวิตส่วนใหญ่ ซึ่งมีขอบเขตการเติบโตได้ ด้วยเหตุนี้จึงต้องทำการปรับปรุงสมการ (3.2) ให้มีขอบเขตการเติบโต ซึ่งเส้นโค้งที่ได้จะมีลักษณะคล้ายตัวเอส (Sigmoidal Shape) ดังแสดงในรูปที่ 3.1 แบบจำลองการเติบโตที่ปรับปรุงจากแบบจำลองการเติบโตแบบเอกซ์โปเนนเชียลเรียกว่า แบบจำลองการเติบโตแบบลอจิสติก (Logistic Growth Model) ซึ่งได้มีการเสนอครั้งแรกในปี ค.ศ. 1838 โดยนักชีววิทยาและนักคณิตศาสตร์ชาวเบลเยียมที่ชื่อว่า Pierre-Francois Verhulst ซึ่งแบบจำลองนี้เป็นที่นิยมมากในบรรดานักวิจัยชีววิทยาเชิงคณิตศาสตร์ [3]

แบบจำลองการเติบโตแบบลอจิสติก เริ่มด้วยการเพิ่มเทอม “negative feedback” $\left(1 - \frac{G(t)}{K}\right)$ ซึ่งทำให้อัตราการเติบโตของประชากรลดลงเมื่อเข้าใกล้ค่าจำกัดการเติบโต K

$$\frac{dG(t)}{dt} = \alpha G(t) \left(1 - \frac{G(t)}{K}\right) \quad (3.3)$$

สังเกตได้ว่าค่า feedback term $\left(1 - \frac{G(t)}{K}\right)$ มีค่าเข้าใกล้ 1 เมื่อ $G(t)$ น้อยกว่า K มากๆ และเข้าใกล้ศูนย์เมื่อ $G(t)$ เข้าใกล้ K ดังนั้นอัตราการเติบโตจึงเป็นแบบเอ็กซ์โปเนนเชียลในช่วงแรกของการเติบโต แต่จะลดลงจนกระทั่งเป็นศูนย์เมื่อจำนวนประชากรเข้าใกล้ค่าจำกัดการเติบโต K จึงส่งผลทำให้เส้นโค้งเป็นรูปตัวเอส

เมื่อนำสมการเชิงอนุพันธ์ (3.3) มาหาผลเฉลยจะได้รูปแบบดังนี้

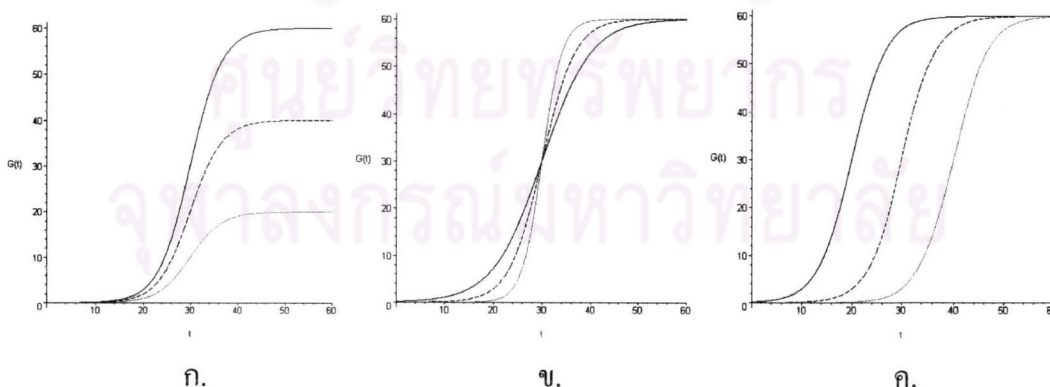
$$G(t) = \frac{K}{1 + \exp(-\alpha(t - \beta))} \quad (3.4)$$

โดยที่ G คือ การเติบโต

t คือ เวลา

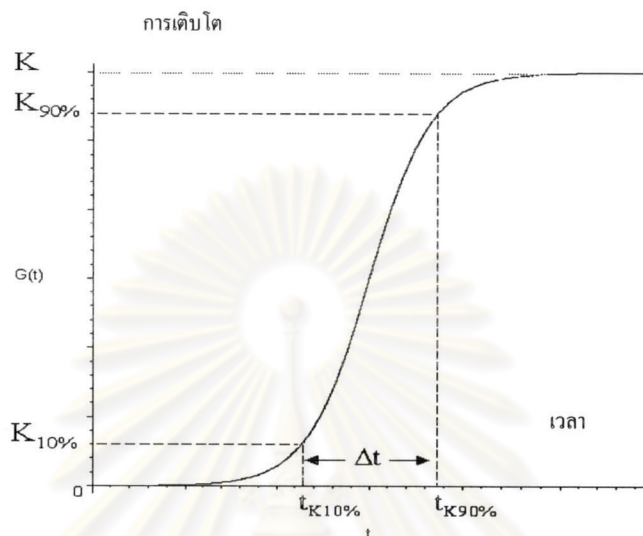
K, α และ β คือ พารามิเตอร์ของการเติบโต

จากสมการที่ (3.4) นำไปวาดกราฟได้ดังรูปที่ 3.2 โดยมีค่า K, α และ β เป็นตัวกำหนดรูปร่างของเส้นโค้ง



รูปที่ 3.2 ความสัมพันธ์ระหว่างเส้นโค้งกับพารามิเตอร์ K, α และ β โดย (ก) K ต่างกัน
(ข) α ต่างกัน และ (ค) β ต่างกัน

พารามิเตอร์การเติบโต α จะระบุถึงความกว้างของเส้นโค้ง เพื่อให้ง่ายต่อความเข้าใจ และง่ายต่อการนำไปใช้เพื่ออธิบายการเติบโตของพืช จึงเปลี่ยนพารามิเตอร์ α ให้อยู่ในรูป Δt ซึ่งหมายถึงช่วงเวลากการเติบโตจาก 10% ถึง 90% ของค่าจำกัดการเติบโต K สามารถแสดงได้ในรูปกราฟต่อไปนี้



รูปที่ 3.3 ช่วงเวลากการเติบโตที่ 10% ถึง 90%

กำหนดให้การเติบโตที่เวลา $t_{K10\%}$ คือ

$$G(t_{K10\%}) = \frac{10}{100} K \quad (3.5)$$

และการเติบโตที่เวลา $t_{K90\%}$ คือ

$$G(t_{K90\%}) = \frac{90}{100} K \quad (3.6)$$

นำ $G(t_{K10\%})$ ในสมการที่ 3.5 แทนลงในสมการที่ 3.4 จะได้

$$\frac{10}{100} K = \frac{K}{1 + \exp(-\alpha(t_{K10\%} - \beta))}$$

$$9 = \exp(-\alpha(t_{K10\%} - \beta))$$

$$\ln(9) = -\alpha(t_{K10\%} - \beta) \quad (3.7)$$

และนำ $G(t_{K90\%})$ ในสมการที่ 3.6 แทนลงในสมการที่ 3.4 จะได้

$$\frac{90}{100} K = \frac{K}{1 + \exp(-\alpha(t_{K90\%} - \beta))}$$

$$\frac{1}{9} = \exp(-\alpha(t_{K90\%} - \beta))$$

$$-\ln(9) = -\alpha(t_{K90\%} - \beta) \quad (3.8)$$

นำสมการที่ 3.7 ลบสมการที่ 3.8 จะได้

$$\ln(81) = \alpha(t_{K90\%} - t_{K10\%})$$

ให้ระยะเวลาการเติบโตในช่วง 10% ถึง 90% ของการเติบโตเท่ากับ Δt จะได้

$$\ln(81) = \alpha(\Delta t)$$

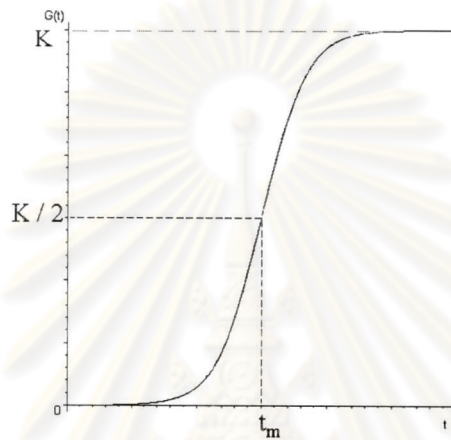
ดังนั้นความสัมพันธ์ระหว่าง α และ Δt คือ

$$\alpha = \frac{\ln 81}{\Delta t} \quad (3.9)$$

นำค่า α จากสมการที่ 3.9 แทนลงในสมการ 3.4 จะได้

$$G(t) = \frac{K}{1 + \exp\left(-\frac{\ln(81)}{\Delta t}(t - \beta)\right)} \quad (3.10)$$

พารามิเตอร์ β เป็นตัวกำหนดระยะเวลาการเติบโตที่มีอัตราการเติบโตมากที่สุด ที่ $\frac{1}{2}K$ เราจึงเปลี่ยนพารามิเตอร์ β ให้อยู่ในรูปของ t_m หมายถึงเวลาที่มีอัตราการเติบโตมากที่สุด ซึ่งสามารถแสดงในรูปที่ 3.4



รูปที่ 3.4 เวลาที่มีอัตราการเติบโตมากที่สุด

กำหนดให้การเติบโตที่เวลา t_m คือ $G(t_m) = \frac{K}{2}$ แทนลงในสมการที่ 3.10 จะได้

$$\frac{K}{2} = \frac{K}{1 + \exp\left(-\frac{\ln(81)}{\Delta t}(t_m - \beta)\right)}$$

$$1 = \exp\left(-\frac{\ln(81)}{\Delta t}(t_m - \beta)\right)$$

$$0 = -\frac{\ln(81)}{\Delta t}(t_m - \beta)$$

$$0 = t_m - \beta$$

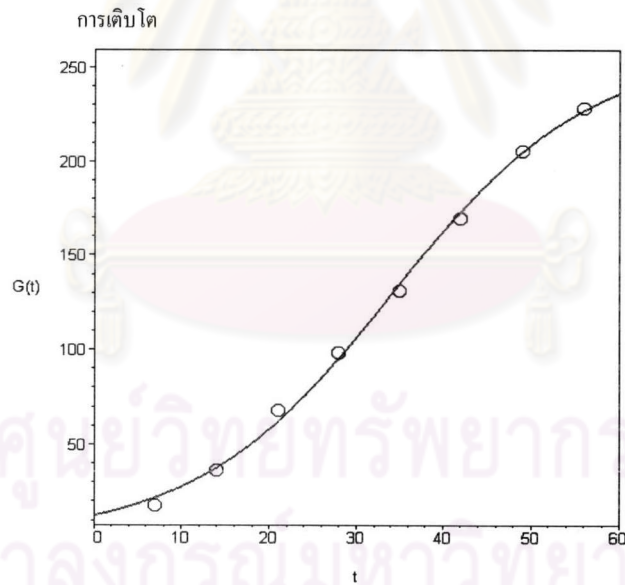
ดังนั้นความสัมพันธ์ระหว่าง β กับ t_m คือ

$$\beta = t_m \quad (3.11)$$

เราจึงได้แบบจำลองการเติบโตแบบลอจิสติกใหม่คือ

$$G(t) = \frac{K}{1 + \exp\left[-\frac{\ln 81}{\Delta t} \cdot (t - t_m)\right]} \quad (3.12)$$

รูปที่ 3.5 แสดงการปรับเส้นโค้ง (Curve Fitting) ข้อมูลการเติบโตของต้นทานตะวันด้วยแบบจำลองการเติบโตแบบลอจิสติกที่ได้ข้างต้น ซึ่งจะเห็นว่าการเติบโตของต้นทานตะวันในช่วงแรกจะเพิ่มขึ้นอย่างช้าๆ จนเข้าสู่ในช่วงออกดอก การเติบโตในช่วงนี้จะเพิ่มขึ้นเร็วมาก จนกระทั่งเข้าสู่ช่วงสุดท้ายของการเติบโต การเติบโตจะค่อยๆ ลดลงจนเข้าสู่ค่าจำกัดการเติบโต จากรูปจะเห็นว่าค่าความคลาดเคลื่อนเมื่อใช้แบบจำลองการเติบโตแบบลอจิสติกมีค่าน้อยมาก[4]



รูปที่ 3.5 การฟิตข้อมูลด้วยแบบจำลองการเติบโตแบบลอจิสติก

แบบจำลองการเติบโตแบบมัลติลอจิสติก (Multi-Logistic Growth Model)

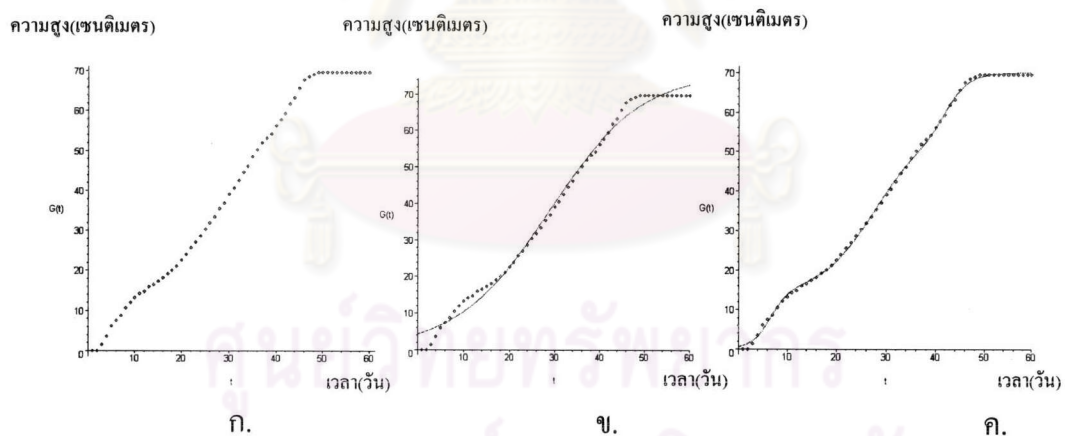
ในธรรมชาติ การเติบโตของพืช ในช่วงเวลาหนึ่งอาจมีกระบวนการเติบโตเกิดขึ้นพร้อมกันมากกว่าหนึ่งกระบวนการ ด้วยเหตุผลนี้เองแบบจำลองการเติบโตแบบลอจิสติก จึงไม่สามารถนำมาใช้อธิบายกระบวนการเติบโตที่ซับซ้อนได้ดังแสดงในรูปที่ 3.6

แบบจำลองแบบมัลติลอจิสติก เป็นแบบจำลองที่รวมเอาแบบจำลองการเติบโตแบบลอจิสติกแบบง่ายมาไว้ด้วยกัน ซึ่งมีรูปแบบดังนี้

$$G(t) = \sum_{i=1}^n G_i(t) \quad (3.13)$$

โดยที่ $G_i(t)$ หมายถึงการเติบโตช่วงที่ i ของการเติบโตทั้งหมด n ช่วง แสดงได้ดังนี้

$$G_i(t) = \frac{K_i}{1 + \exp\left[-\frac{\ln(81)}{\Delta t_i} \cdot (t - t_{mi})\right]} \quad (3.14)$$



รูปที่ 3.6 เปรียบเทียบการปรับเส้นโค้งข้อมูล (ก) ด้วยแบบจำลองการเติบโตแบบลอจิสติก (ข) และแบบจำลองการเติบโตแบบมัลติลอจิสติก(ค)

จากรูปที่ 3.6 เปรียบเทียบการฟิตข้อมูลการเติบโตของถั่วเหลืองพบว่า ค่าความคลาดเคลื่อนสัมพัทธ์ที่ได้จากแบบจำลองการเติบโตแบบมัลติลوجิสติกมีค่าเท่ากับ 2.76 เปอร์เซ็นต์ ซึ่งมีค่าน้อยกว่าค่าความคลาดเคลื่อนสัมพัทธ์ ที่ได้จากแบบจำลองการเติบโตแบบลอจิสติก ซึ่งมีค่าเท่ากับ 10.93 เปอร์เซ็นต์ ดังนั้นจะเห็นว่าแบบจำลองการเติบโตแบบมัลติลوجิสติกเหมาะสมที่จะนำไปใช้อธิบายลักษณะการเติบโตของถั่วเหลืองมากกว่าแบบจำลองการเติบโตแบบลอจิสติก

ค่าพารามิเตอร์ในแบบจำลองการเติบโตแบบมัลติลوجิสติก หาได้จากวิธีการถดถอยแบบไม่เชิงเส้นดังที่จะกล่าวในหัวข้อถัดไป

3.2 การวิเคราะห์การถดถอย (Regression Analysis)

การวิเคราะห์การถดถอย เป็นเทคนิคการวิเคราะห์ความสัมพันธ์ของตัวแปรตั้งแต่ 2 ตัวขึ้นไป บางครั้งความสัมพันธ์ระหว่างตัวแปรเหล่านั้นอาจจะอยู่ในรูปแบบง่ายๆ สามารถที่จะหาความสัมพันธ์ในรูปของสมการทางคณิตศาสตร์ได้โดยเพียงแต่อาศัยทฤษฎีที่เกี่ยวข้อง แต่ส่วนมากแล้วความสัมพันธ์นั้นๆ มักจะอยู่ในลักษณะที่ค่อนข้างยุ่งยากซับซ้อน จึงต้องมีการตั้งสมมติฐานหรือประมาณเอาว่าลักษณะความสัมพันธ์อยู่ในสมการแบบไหน ข้อที่พึงระลึกถึงเสมอเมื่อใช้เทคนิคการวิเคราะห์การถดถอยก็คือ เทคนิคนั้นไม่ใช่เทคนิคที่จะบอกว่าข้อมูลที่เกิดขึ้นนั้นเกิดจากสมการอะไร เพียงแต่บอกว่า ถ้าใช้สมการนั้นๆกับข้อมูลที่เกิดขึ้นแล้วมีความเหมาะสมกันอย่างไร

3.2.1 การวิเคราะห์การถดถอยแบบไม่เชิงเส้น (Nonlinear Regression Analysis)

การวิเคราะห์การถดถอยเมื่อความสัมพันธ์ไม่ได้อยู่ในรูปเชิงเส้น มักพบมากในงานด้านวิทยาศาสตร์ ด้านวิศวกรรมศาสตร์ และด้านเกษตรศาสตร์ รวมไปถึงด้านพฤกษศาสตร์

ความสัมพันธ์ระหว่างตัวแปรอิสระและตัวแปรตามที่มีความสัมพันธ์ในรูปแบบไม่เชิงเส้น เขียนอยู่ในรูปแบบสมการถดถอยได้ดังนี้

$$y = y(x; a) \quad (3.15)$$

โดยที่ y คือ ตัวแปรตามของสมการถดถอย
 x คือ ตัวแปรอิสระของสมการถดถอย
 a คือ พารามิเตอร์สมการถดถอย

ขั้นตอนการวิเคราะห์การถดถอยไม่เชิงเส้น

- ขั้นที่ 1: ตรวจสอบความสัมพันธ์ระหว่างตัวแปรตาม y กับตัวแปรอิสระ x โดยการเขียนกราฟแสดงความสัมพันธ์อยู่ในรูปแบบเชิงเส้นหรือไม่เชิงเส้น
 ถ้าพบว่าความสัมพันธ์อยู่ในรูปเชิงเส้น ให้ใช้การวิเคราะห์การถดถอยเชิงเส้น
 ถ้าพบว่าความสัมพันธ์อยู่ในรูปไม่เชิงเส้น ให้ทำต่อขั้นที่ 2
- ขั้นที่ 2: ตรวจสอบว่าฟังก์ชันแสดงความสัมพันธ์ไม่เชิงเส้น อยู่ในรูปแบบใด
- ขั้นที่ 3: หาค่าพารามิเตอร์ของรูปแบบความสัมพันธ์ไม่เชิงเส้นที่คาดไว้จากขั้นที่ 2

3.2.2 การหาค่าพารามิเตอร์ของสมการการถดถอย

ในการวิเคราะห์การถดถอย นอกจากจะต้องทราบว่าตัวแปรใดเป็นตัวแปรตามหรือตัวแปรอิสระแล้ว ผู้วิเคราะห์จะต้องกำหนดรูปแบบความสัมพันธ์ระหว่างตัวแปรตามและตัวแปรอิสระให้ถูกต้องเหมาะสมกับความเป็นจริง และเมื่อกำหนดรูปแบบความสัมพันธ์ระหว่างตัวแปรทั้งสองได้แล้ว ผู้วิเคราะห์จะทำการประมาณค่าคงตัวความสัมพันธ์ของตัวแปรทั้งสองนั้น โดยที่เราจะเรียกค่าคงตัวประมาณความสัมพันธ์ระหว่างตัวแปรทั้งสองนี้ว่า สัมประสิทธิ์การถดถอยหรือค่าพารามิเตอร์การถดถอย

สำหรับเทคนิคหรือวิธีการหาค่าพารามิเตอร์ของสมการการถดถอย ที่นิยมที่สุดคือวิธีกำลังสองน้อยสุด(Least-Square Method) แต่สำหรับการหาค่าพารามิเตอร์ของสมการถดถอยซึ่งอยู่ในรูปแบบไม่เชิงเส้น ต้องใช้วิธีกำลังสองน้อยสุดไม่เชิงเส้นซึ่งได้พัฒนาออกมาแล้วหลายวิธี สำหรับวิธีการที่จะใช้ในงานวิจัยนี้คือ Levenberg-Marquart method ซึ่งเป็นที่นิยมใช้ในการหาค่าพารามิเตอร์ของสมการถดถอยไม่เชิงเส้น ดังจะกล่าวถึงในส่วนต่อไป

3.2.3 วิธีกำลังสองน้อยสุดไม่เชิงเส้น

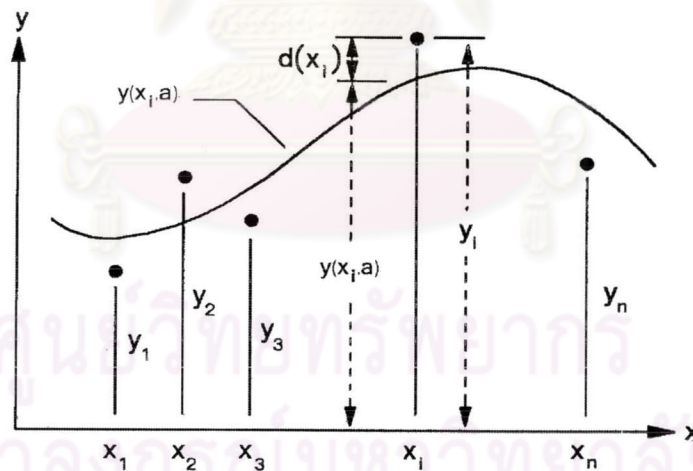
วิธีกำลังสองน้อยสุดเป็นวิธีที่นิยมใช้ในการหาค่าพารามิเตอร์ของสมการถดถอยที่กำหนดให้เหมาะสมกับข้อมูลมากที่สุด โดยพิจารณาจากการหาพารามิเตอร์ที่ทำให้มีค่าคลาดเคลื่อนกำลังสองน้อยสุด

สมมติว่าต้องการหาสมการ ที่แทนข้อมูลจำนวน n จุด (x_i, y_i) ; $i=1,2,\dots,n$ โดยมีพารามิเตอร์ที่ต้องการหา m ตัว คือ a_j ; $j=1,2,\dots,m$ เพื่อที่จะหาสมการถดถอยที่แทนความสัมพันธ์ของตัวแปรอิสระ x กับตัวแปรตาม y จากสมการ(3.15) คือ

$$y(x) = y(x; a)$$

เมื่อแทนค่าพารามิเตอร์ a ในสมการที่ 3.15 แล้วนำสมการที่ได้มาเปรียบเทียบกับข้อมูลที่กำหนดให้ พบว่าเกิดค่าความคลาดเคลื่อน $d(x_i)$ ที่จุด x_i ดังแสดงในรูป 3.7 โดยที่ค่า $d(x_i)$ คือ

$$d(x_i) = y_i - y(x_i; a) \quad (3.16)$$



รูปที่ 3.7 ค่าความคลาดเคลื่อนในแต่ละจุด (x_i, y_i)

สมการที่หาได้จะก่อให้เกิด ค่าความผิดพลาดกำลังสองที่น้อยที่สุดจากข้อมูลทั้งหมดที่กำหนดให้ ขั้นตอนในการหาสมการการถดถอยไม่เชิงเส้นนี้ เริ่มจากการหาค่าความคลาดเคลื่อน E ที่เกิดจากข้อมูลจำนวน n ข้อมูลในรูปแบบดังนี้

$$E = \sum_{i=1}^n [d(x_i)]^2 \quad (3.17)$$

ซึ่งสามารถเขียนให้ประกอบด้วยฟังก์ชันไม่เชิงเส้น ดังนี้

$$E(a) = \sum_{i=1}^n [y_i - y(x_i; a)]^2 \quad (3.18)$$

โดยที่ y_i เป็นตัวแปรตามที่ได้จากข้อมูลตัวที่ i
 x_i เป็นตัวแปรอิสระที่ได้จากข้อมูลตัวที่ i
 y เป็นตัวแปรตามที่ได้จากสมการถดถอยโดยมีพารามิเตอร์ a
 a เป็นพารามิเตอร์การถดถอย

ในการหาพารามิเตอร์ a_1, a_2, \dots, a_m รวมทั้งสิ้น m ค่า นั้น เราใช้วิธีกำลังสองน้อยสุดสร้างระบบสมการที่ประกอบด้วย m สมการย่อยคือ

$$\begin{aligned} \frac{\partial E}{\partial a_1} &= \sum_{i=1}^n (y_i - y(x_i; a)) \cdot \frac{\partial y(x_i; a)}{\partial a_1} = 0 \\ \frac{\partial E}{\partial a_2} &= \sum_{i=1}^n (y_i - y(x_i; a)) \cdot \frac{\partial y(x_i; a)}{\partial a_2} = 0 \\ \frac{\partial E}{\partial a_3} &= \sum_{i=1}^n (y_i - y(x_i; a)) \cdot \frac{\partial y(x_i; a)}{\partial a_3} = 0 \end{aligned} \quad (3.19)$$

$$\frac{\partial E}{\partial a_m} = \sum_{i=1}^n (y_i - y(x_i; a)) \cdot \frac{\partial y(x_i; a)}{\partial a_m} = 0$$

การแก้ระบบสมการไม่เชิงเส้นเพื่อหาค่าพารามิเตอร์ a_1, a_2, \dots, a_m นั้นทำได้หลายวิธีแต่ในงานวิจัยนี้ จะขอกกล่าวถึงเฉพาะวิธี Levenberg-Marquardt

3.2.4 Levenberg-Marquardt Method

วิธี Levenberg-Marquardt เป็นวิธีที่เหมาะสมและนิยมใช้สำหรับการแก้ระบบสมการไม่เชิงเส้น เพื่อหาค่าพารามิเตอร์ที่ต้องการ มีวิธีการดังต่อไปนี้

กำหนดให้ฟังก์ชันความคลาดเคลื่อนคือ $E(a)$ และเขียนอยู่ในรูปอนุกรมเทย์เลอร์ได้ดังนี้

$$E(a_{n+1}) \approx E(a_n) + \nabla E(a_n)^T \cdot (a_{n+1} - a_n) + \frac{1}{2} (a_{n+1} - a_n)^T \cdot \nabla^2 E(a_n) \cdot (a_{n+1} - a_n) + \dots \quad (3.20)$$

$$\text{โดยที่ } \nabla E(a_n) = \begin{bmatrix} \frac{\partial E(a_n)}{\partial a_{1n}} \\ \frac{\partial E(a_n)}{\partial a_{2n}} \\ \vdots \\ \frac{\partial E(a_n)}{\partial a_{mn}} \end{bmatrix},$$

$$\nabla^2 E(a_n) = \begin{bmatrix} \frac{\partial^2 E(a_n)}{\partial a_{1n} \partial a_{1n}} & \frac{\partial^2 E(a_n)}{\partial a_{1n} \partial a_{2n}} & \dots & \frac{\partial^2 E(a_n)}{\partial a_{1n} \partial a_{mn}} \\ \frac{\partial^2 E(a_n)}{\partial a_{2n} \partial a_{1n}} & \frac{\partial^2 E(a_n)}{\partial a_{2n} \partial a_{2n}} & \dots & \frac{\partial^2 E(a_n)}{\partial a_{2n} \partial a_{mn}} \\ \vdots & \vdots & \dots & \vdots \\ \frac{\partial^2 E(a_n)}{\partial a_{mn} \partial a_{1n}} & \frac{\partial^2 E(a_n)}{\partial a_{mn} \partial a_{2n}} & \dots & \frac{\partial^2 E(a_n)}{\partial a_{mn} \partial a_{mn}} \end{bmatrix}$$

จากอนุกรมเทย์เลอร์ในสมการที่ 3.20 พิจารณาแก่อนุพันธ์อันดับสองจะได้ว่า

$$E(a_{n+1}) = E(a_n) + \nabla E(a_n)^T \cdot (a_{n+1} - a_n) + \frac{1}{2}(a_{n+1} - a_n)^T \cdot \nabla^2 E(a_n) \cdot (a_{n+1} - a_n) \quad (3.21)$$

จากสมการที่ 3.21 เขียนให้อยู่ในรูปเกรเดียนต์เวกเตอร์ (Gradient vector) g และเฮสเซียนเมตริกซ์ (Hessian matrix) H ได้ดังนี้

$$E(a_{n+1}) = E(a_n) + g^T \cdot (a_{n+1} - a_n) + \frac{1}{2}(a_{n+1} - a_n)^T \cdot H \cdot (a_{n+1} - a_n) \quad (3.22)$$

โดยที่ g คือ เวกเตอร์อนุพันธ์อันดับหนึ่งของ $E(a_n)$

H คือ เมตริกซ์อนุพันธ์อันดับสองของ $E(a_n)$

สำหรับการหาค่าพารามิเตอร์ a ที่ทำให้มีค่าความคลาดเคลื่อน $E(a)$ น้อยที่สุดทำได้โดยการหาอนุพันธ์เทียบ a_n ได้ดังนี้

$$\begin{aligned} \frac{\partial E(a_{n+1})}{\partial a_n} &= \frac{\partial E(a_n)}{\partial a_n} + \frac{\partial g^T (a_{n+1} - a_n)}{\partial a_n} + \frac{1}{2} \frac{\partial (a_{n+1} - a_n)^T \cdot H \cdot (a_{n+1} - a_n)}{\partial a_n} \\ 0 &= \frac{\partial E(a_n)}{\partial a_n} + g^T (-1) + H(a_{n+1} - a_n)(-1) \end{aligned}$$

พิจารณาค่าสุดขีดโดยให้ $\frac{\partial E(a_n)}{\partial a_n} = 0$ จะได้

$$0 = g^T + H(a_{n+1} - a_n)$$

จะได้

$$a_{n+1} = a_n - H^{-1}g \quad (3.23)$$

พิจารณาเทอม $H^{-1}g$ ในสมการที่ 3.23 พบว่าเทอม $H^{-1}g$ คือค่า Step size หรือขนาดที่เปลี่ยนแปลงของค่าพารามิเตอร์ a ในแต่ละรอบการทำซ้ำ Levenberg-Marquardt เสนอให้เปลี่ยนเทอม $H^{-1}g$ เป็น $(H + \lambda I)^{-1}g$ เพื่อลดจำนวนรอบการทำซ้ำ คือเมื่อค่า λ มากทำให้ Step size เล็กกลงและเมื่อค่า λ น้อย Step size จะมีขนาดใหญ่ ซึ่งส่งผลให้จำนวนรอบในการทำซ้ำลดลง สมการใหม่ที่ได้มีรูปแบบดังนี้

$$a_{n+1} = a_n - (H + \lambda I)^{-1}g \quad (3.24)$$

โดยที่ λ จะเปลี่ยนไปทุกรอบการทำซ้ำขึ้นอยู่กับค่า $E(a)$

ขั้นตอนวิธีการหาค่าพารามิเตอร์โดยวิธี Levenberg-Marquardt

กำหนดฟังก์ชันความคลาดเคลื่อนกำลังสอง

$$E(a) = \sum_{i=1}^n (y_i - y(x_i; a))^2$$

ขั้นที่ 1. กำหนดค่าพารามิเตอร์เริ่มต้น a_0

ขั้นที่ 2. คำนวณค่าความคลาดเคลื่อน $E(a)$

ขั้นที่ 3. กำหนด $\lambda = 0.001$

ขั้นที่ 4. คำนวณ a_{n+1} จากสมการ (3.24)

ขั้นที่ 5. ตรวจสอบเงื่อนไข

- ถ้า $E(a_{n+1}) \geq E(a_n)$ แล้วให้ $\lambda = \lambda \cdot 10$ จากนั้นทำขั้นที่ 4
- ถ้า $E(a_{n+1}) < E(a_n)$ แล้วให้ $\lambda = \lambda / 10$ และ $a_{n+1} = a_n$ จากนั้นทำขั้นที่ 4
- ถ้าค่า $E(a_n) \leq 0.001$ ให้จบการทำงาน

จุฬาลงกรณ์มหาวิทยาลัย

ตัวอย่าง 3.1

กำหนดข้อมูลดังนี้

X	1	2	3	4	5	6	7	...	21	22	23	...	58	59	60
Y	0.00	0.00	0.00	0.00	0.00	0.00	0.00	...	0.75	1.15	1.76	...	40.00	40.00	40.00

กำหนดรูปแบบสมการที่ต้องการหาค่าพารามิเตอร์ดังนี้

$$y(x) = \frac{a_1}{1 + \exp\left[-\frac{\ln(81)}{a_2} \cdot (x - a_3)\right]}$$

เมื่อใช้ Levenberg-Marquardt method แล้วได้ค่าพารามิเตอร์ดังนี้

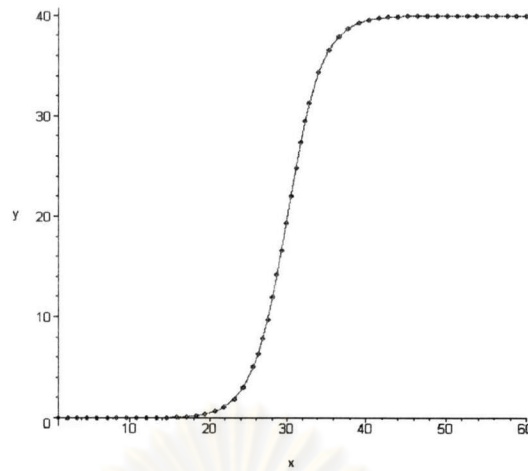
$$a_1 = 40.000, a_2 = 9.995, a_3 = 29.999$$

นำค่าพารามิเตอร์ที่หาได้มาแทนในสมการที่กำหนด จะได้

$$y(x) = \frac{40.000}{1 + \exp\left[-\frac{\ln(81)}{9.995} \cdot (x - 29.999)\right]}$$

เมื่อนำมาวาดกราฟเทียบกับข้อมูลที่กำหนดมา พบว่ามีความคลาดเคลื่อนสัมพัทธ์เท่ากับ 0.14 เปอร์เซ็นต์ ซึ่งมีค่าน้อยมาก แสดงได้ดังรูปที่ 3.8

ศูนย์วิทยบริการ
จุฬาลงกรณ์มหาวิทยาลัย



รูปที่ 3.8 กราฟที่ได้จากสมการถดถอยเทียบกับข้อมูลจากตัวอย่าง 3.1

3.3 ระบบลินเดนเมเยอร์ (Lindenmayer System)

ในส่วนนี้จะกล่าวถึง ทฤษฎีทางคณิตศาสตร์ที่นิยมนำไปใช้ในการสร้างภาพนามธรรมของพืชซึ่งถูกเสนอโดยนักชีววิทยาที่ชื่อว่า Aridtis Lindenmayer ในปี ค.ศ. 1968

L-System หรือ Lindenmayer System ประกอบด้วย 2 ส่วนหลักคือ สายอักขระเริ่มต้นที่เรียกว่า Axiom และกฎการเปลี่ยนอักขระที่เรียกว่ากฎการผลิต (Production Rule) หรือ กฎการทำซ้ำ (Rewriting Rule) โดยผ่านการเขียนซ้ำ (Rewriting system) แต่ L-System เป็นเพียงการสร้างสายอักขระเท่านั้น การสร้างรูปทรงเรขาคณิตจึงต้องอาศัยหลักการเปลี่ยนสายอักขระเป็นรูปทรงเรขาคณิตที่เรียกว่า การตีความแบบเต่า (Turtle Interpretation) มาใช้ในการตีความสายอักขระที่ได้จาก L-System เพื่อที่จะสร้างภาพกราฟิกของพืช

3.3.1 ระบบการเขียนซ้ำ (Rewriting System)

แนวคิดหลักของ L-System คือระบบการเขียนซ้ำแบบขนาน (Parallel Rewriting) โดยการแทนอักขระเริ่มต้นด้วยกฎการเปลี่ยน ซึ่งกฎการเปลี่ยนในที่นี้เราเรียกว่ากฎการผลิต หรือ กฎการทำซ้ำ โดยผ่านการเขียนซ้ำ (Rewriting system) กล่าวคือในการเขียนซ้ำแต่ละรอบจะทำการเปลี่ยนสายอักขระตามกฎการเขียนซ้ำดังแสดงในตัวอย่าง

ตัวอย่างที่ 3.2 สายอักขระเริ่มต้น : A

กฎการทำซ้ำ 1 : $A \rightarrow AB$

กฎการทำซ้ำ 2 : $B \rightarrow A$

การทำซ้ำครั้งที่ 0 : A

การทำซ้ำครั้งที่ 1 : AB

การทำซ้ำครั้งที่ 2 : ABA

การทำซ้ำครั้งที่ 3 : ABAAB

การทำซ้ำครั้งที่ 4 : ABAABABA

การทำซ้ำครั้งที่ 5 : ABAABABAABAAB

ในขั้นตอนการทำซ้ำแต่ละรอบ ทำการเปลี่ยนสายอักขระตัวก่อนหน้าตามกฎการทำซ้ำโดยอักขระแต่ละตัวจะเปลี่ยนตามกฎพร้อมกันหรือที่เรียกว่าการเปลี่ยนแบบขนาน เช่น ในการทำซ้ำครั้งที่ 2 ตัวอักขระก่อนหน้าคือ AB จากนั้นเปลี่ยน $A \rightarrow AB$ ตามกฎการทำซ้ำที่ 1 และเปลี่ยน $B \rightarrow A$ ตามกฎการทำซ้ำที่ 2 ทำเช่นนี้ไปตามจำนวนการทำซ้ำที่กำหนด จากตัวอย่างที่ 3.2 เมื่อผ่านการทำซ้ำไป 5 ครั้งแล้ว จะได้สายอักขระสุดท้ายคือ ABAABABAABAAB

3.3.2 การตีความสายอักขระแบบเต่า (Turtle Interpretation of String)

ในการสร้างภาพกราฟิกของพีช โดยการแทนสัญลักษณ์หรืออักขระแต่ละตัวที่ได้จากการทำซ้ำในระบบแอล จำเป็นต้องอาศัยหลักการที่เรียกว่า การตีความสายอักขระแบบเต่า ตัวอักขระหรือสัญลักษณ์แต่ละตัวแทนด้วย ตำแหน่งและทิศทางการเดินของเต่า เช่น เดินหน้า ถอยหลัง เลี้ยวซ้าย และเลี้ยวขวาเป็นต้น ดังแสดงในตารางที่ 3.1

สัญลักษณ์	ความหมาย
F	การเดินไปข้างหน้าหนึ่งหน่วยและวาดเส้นตรง
f	การเดินไปข้างหน้าหนึ่งหน่วยโดยไม่วาดเส้นตรง
+	การเคลื่อนที่ไปทางทวนเข็มนาฬิกาหรือเลี้ยวซ้าย
-	การเคลื่อนที่ไปทางตามเข็มนาฬิกาหรือเลี้ยวขวา

ตาราง 3.1 สัญลักษณ์ที่ใช้ในการตีความแบบเต่าแบบง่าย

3.3.3 ประเภทของระบบแอล (Types of L-System)

ตั้งแต่ปี ค.ศ. 1968 L-System เป็นที่รู้จักกันมากขึ้นก็เริ่มมีงานวิจัยต่างๆที่เกี่ยวข้องกับ L-System ออกมาเป็นระยะๆ ดังนั้นจึงพอสรุปออกเป็นประเภทต่างๆได้ดังนี้

Deterministic Context-Free L-System เป็นแบบพื้นฐานที่สุดของ L-System คือในขั้นตอนการเขียนซ้ำ ทำการเปลี่ยนสายอักขระตามกฎการเปลี่ยนได้ทันที โดยไม่คำนึงถึงตัวอักขระข้างเคียง ซึ่งมีรูปแบบดังนี้

predecessor --> successor

ตัวอย่าง 3.4

สายอักขระเริ่มต้น : F-F-F-F

กฎการเปลี่ยน : F--> F-F+F+FF-F-F+F

การทำซ้ำครั้งที่ 0 :

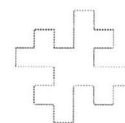
F-F-F-F



การทำซ้ำครั้งที่ 1 :

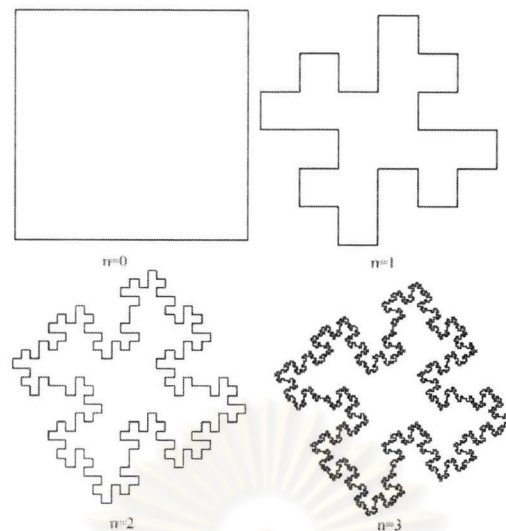
F-F+F+FF-F-F+F-F-F+F+FF-F-F+F-

F-F+F+FF-F-F+F-F-F+F+FF-F-F+F



จากตัวอย่างที่ 3.4 เป็นตัวอย่าง Deterministic Context-Free L-System โดยเปลี่ยนสายอักขระเริ่มต้น F-F-F-F ตามกฎการทำซ้ำ ซึ่งในที่นี้มีเพียงกฎเดียวและผ่านขั้นตอนการตีความเพื่อนำไปสร้างภาพกราฟิก แสดงดังรูปที่ 3.10 เป็นภาพกราฟิกที่ได้จากการทำซ้ำครั้งที่ 0 , 1 , 2 และ 3 ตามลำดับ

ศูนย์วิทยทรัพยากร
จุฬาลงกรณ์มหาวิทยาลัย



รูปที่ 3.10 ภาพกราฟิกที่ได้จาก Deterministic Context-Free L-System

Bracketed L-System เป็น L-System ที่พัฒนามาจาก Deterministic Context-Free L-System สำหรับการสร้างภาพกราฟิกของพืชที่มีความซับซ้อน เช่น พืชที่การแตกแขนงเป็นกิ่งก้าน เป็นต้น โดยเพิ่มสัญลักษณ์ที่ใช้สำหรับกำหนดจุดเริ่มและจุดจบของกิ่งก้าน สัญลักษณ์ที่เพิ่มเข้าไปคือ

- [แทน การจำตำแหน่งและทิศทางของเต่า
-] แทน การนำตำแหน่งและทิศทางของเต่าออกมา

กล่าวคือการนำหลักการ Pop-Push Stack เข้ามาใช้ในขั้นตอนตีความอักขระ “[“ หมายถึงให้จำตำแหน่งและทิศทางของเต่าไว้ ส่วน “]” หมายถึงให้นำตำแหน่งและทิศทางของเต่าออกมาใช้ L-System ประเภทนี้จะเหมาะกับการนำไปใช้สร้างพืชที่มีกิ่งก้านสาขา ดังแสดงในตัวอย่าง 3.5 และรูปที่ 3.11 โดย Bracketed L-System มีรูปแบบดังนี้

predecessor \rightarrow successor([,])

ตัวอย่าง 3.5 กำหนดให้

สายอักขระแอล (L-String) : $FF[+F-F]F[-F[-F]F]F+F-F$

กำหนดมุม : 45 องศา

$FF[+F-F]F[-F[-F]F]F+F-F$

$FF[+F-F]F[-F[-F]F]F+F-F$

$FF[+F-F]F[-F[-F]F]F+F-F$

$FF[+F-F]F[-F[-F]F]F+F-F$

$FF[+F-F]F[-F[-F]F]F+F-F$

จากตัวอย่างที่ 3.5 แสดงการใช้ Bracketed L-System มาสร้างภาพกราฟิกของพืช ซึ่งสามารถสร้างพืชที่มีกิ่งและก้านได้ เมื่อกำหนดสายอักขระเริ่มต้นและกฎการเปลี่ยนที่แตกต่างกัน ดังตารางที่ 3.2 สามารถสร้างภาพกราฟิกของพืชที่แตกต่างกันดังแสดงในรูป 3.11

รูป	จำนวนรอบ	มุม	สายอักขระ เริ่มต้น	กฎการทำซ้ำ
a	5	25.7	F	$F \rightarrow F[+F]F[-F]+F$
b	5	20	F	$F \rightarrow F[+F]F[-F][F]$
c	4	22.5	F	$F \rightarrow FF[-F+F+F][+F-F-F]$
d	7	20	X	$X \rightarrow F[+X]F[-X]+X$ $F \rightarrow FF$
e	7	25.7	X	$X \rightarrow F[+X][-X]FX$ $F \rightarrow FF$
f	5	22.5	X	$X \rightarrow F-[[X]+X]+F[+FX]-X$ $F \rightarrow FF$

ตาราง 3.2 สายอักขระเริ่มต้นและกฎการทำซ้ำแบบ Bracketed L-System ที่แตกต่างกัน



รูป 3.11 ภาพกราฟิกของพืชที่ได้จาก Bracketed L-System

Stochastic L-System พัฒนาจาก Deterministic Context-Free L-System ที่กล่าวมาข้างต้น เมื่อกำหนดจำนวนการทำซ้ำที่เท่ากัน เมื่อนำมาสร้างภาพกราฟิกของพืช จะได้พืชที่มีลักษณะเหมือนกันทุกครั้ง แต่ในความเป็นจริงพืชชนิดเดียวกัน สายพันธุ์เดียวกันก็ไม่ได้เหมือนกันทุกประการ ดังนั้นการนำหลักการความน่าจะเป็นเข้ามากำหนดในการเลือกกฎการเปลี่ยน จะสามารถสร้างภาพกราฟิกของพืชได้หลากหลาย เหมือนในธรรมชาติ Stochastic L-System มีรูปแบบดังนี้

predecessor \rightarrow successor : probability of selection

ตัวอย่าง 3.6

สายอักขระเริ่มต้น	:	F	
กฎการเปลี่ยน 1	:	F [+F]F[-F]F	: 0.33
กฎการเปลี่ยน 2	:	F[+F]F	: 0.33
กฎการเปลี่ยน 3	:	F [-F]	: 0.34

ในขั้นตอนการทำซ้ำแต่ละรอบ มีการสุ่มความน่าจะเป็นที่อยู่ในช่วง 0 ถึง 1 เพื่อใช้ในการพิจารณาเลือกกฎการเปลี่ยน ซึ่งในตัวอย่างที่ 3.6 กฎการเปลี่ยน 1 มีความน่าจะเป็นอยู่ในช่วง 0.00 – 0.33 กฎการเปลี่ยน 2 มีความน่าจะเป็นอยู่ในช่วง 0.34 – 0.66 และเมื่อความน่าจะเป็นอยู่ในช่วง 0.67 – 1.00 จึงเลือกกฎการเปลี่ยน 3 ด้วยเหตุนี้ทำให้การทำซ้ำในแต่ละรอบ สร้างสายอักขระได้แตกต่างกัน และส่งผลให้สร้างภาพกราฟิกได้แตกต่างกันด้วย แสดงดังรูปที่ 3.12



รูปที่ 3.12 ภาพกราฟิกที่มีความหลากหลายของพืช โดยใช้ Stochastic L-System

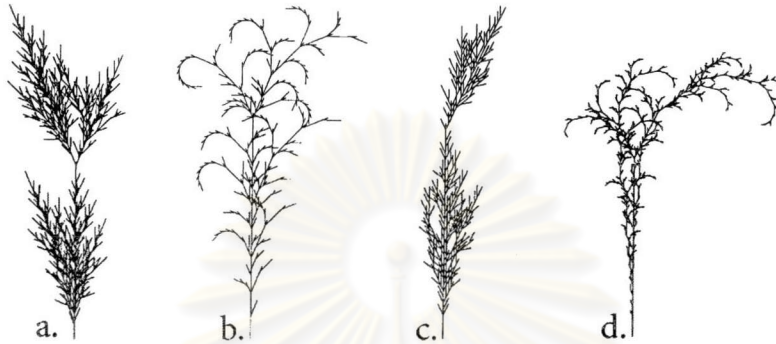
Context-Sensitive L-System สำหรับ Deterministic Context-Free L-System ที่กล่าวมาก่อนหน้านี้ ในขั้นตอนการเปลี่ยนสายอักขระตามกฎการเปลี่ยนของ L-System สามารถเปลี่ยนอักขระตามกฎได้ทันทีโดยไม่ต้องพิจารณาตัวอักขระข้างเคียง แต่สำหรับ Context-Sensitive L-System ต้องพิจารณาตัวอักขระข้างเคียงก่อนว่าเป็นไปตามกฎการเปลี่ยนก่อน ซึ่งมีรูปแบบดังนี้

left context < predecessor > right context \rightarrow successor

ตัวอย่าง 3.7

a. สายอักขระเริ่มต้น :	F1F1F1	b. สายอักขระเริ่มต้น :	F0F0F1
กฎการเปลี่ยน		กฎการเปลี่ยน	
$0 < 0 > 0$	$\rightarrow 0$	$0 < 0 > 0$	$\rightarrow 1$
$0 < 0 > 1$	$\rightarrow 1[+F1F1]$	$0 < 0 > 1$	$\rightarrow 1[-F1F1]$
$0 < 1 > 0$	$\rightarrow 1$	$0 < 1 > 0$	$\rightarrow 1$
$0 < 1 > 1$	$\rightarrow 1$	$0 < 1 > 1$	$\rightarrow 1$
$1 < 0 > 0$	$\rightarrow 0$	$1 < 0 > 0$	$\rightarrow 0$
$1 < 0 > 1$	$\rightarrow 1F1$	$1 < 0 > 1$	$\rightarrow 1F1$
$1 < 1 > 0$	$\rightarrow 0$	$1 < 1 > 0$	$\rightarrow 1$
$1 < 1 > 1$	$\rightarrow 0$	$1 < 1 > 1$	$\rightarrow 0$
$* < + > *$	$\rightarrow -$	$* < + > *$	$\rightarrow -$
$* < - > *$	$\rightarrow +$	$* < - > *$	$\rightarrow +$
c. สายอักขระเริ่มต้น :	F0F1F1	d. สายอักขระเริ่มต้น :	F1F0F1
กฎการเปลี่ยน		กฎการเปลี่ยน	
$0 < 0 > 0$	$\rightarrow 0$	$0 < 0 > 0$	$\rightarrow 1$
$0 < 0 > 1$	$\rightarrow 1$	$0 < 0 > 1$	$\rightarrow 0$
$0 < 1 > 0$	$\rightarrow 0$	$0 < 1 > 0$	$\rightarrow 0$
$0 < 1 > 1$	$\rightarrow 1[+F1F1]$	$0 < 1 > 1$	$\rightarrow 1F1$
$1 < 0 > 0$	$\rightarrow 0$	$1 < 0 > 0$	$\rightarrow 1$
$1 < 0 > 1$	$\rightarrow 1F1$	$1 < 0 > 1$	$\rightarrow 1[+F1F1]$
$1 < 1 > 0$	$\rightarrow 0$	$1 < 1 > 0$	$\rightarrow 1$
$1 < 1 > 1$	$\rightarrow 0$	$1 < 1 > 1$	$\rightarrow 0$
$* < + > *$	$\rightarrow +$	$* < + > *$	$\rightarrow -$
$* < - > *$	$\rightarrow -$	$* < - > *$	$\rightarrow +$

การเปลี่ยนสายอักขระในแต่ละครั้งต้องคู่ตัวข้างเคียงทั้งทางซ้ายและขวา ยกตัวอย่างเช่น $0 < 0 > 1 \rightarrow 1[+F1F1] 0$ จะเปลี่ยนเป็น $1[+F1F1] 0$ ได้ก็ต่อเมื่อมี 0 อยู่ทางซ้ายและ 1 อยู่ทางขวา ซึ่งจากตัวอย่าง 3.7 สามารถสร้างภาพกราฟิกได้ดังรูป 3.13 a. ส่วนรูปอื่นๆได้จากสายอักขระเริ่มต้น และกฎการเปลี่ยนที่แตกต่างกันดังนี้



รูปที่ 3.13 ภาพกราฟิกของพืชที่ได้จาก Context-sensitive L-System

Parametric L-System เป็นการนำฟังก์ชันมาใช้แทนตัวอักขระ ซึ่งสามารถกำหนดขนาดของลำต้น กิ่ง ก้านได้ด้วยฟังก์ชัน จึงเหมาะสำหรับการนำไปจำลองพืชที่การเติบโตขึ้นอยู่กับปัจจัยจากสิ่งแวดล้อม เช่น ขนาดของลำต้นของพืชที่ปลูกในสถานะที่เหมาะสมมีขนาดใหญ่กว่าพืชที่ปลูกในสถานะไม่เหมาะสม ซึ่งต้องอาศัยฟังก์ชันเข้ามาควบคุมขนาด Parametric L-System มีรูปแบบดังนี้

predecessor: condition \rightarrow successor

ตัวอย่าง 3.8

กำหนด $D = 1$

กำหนด $R = 1.5$

สายอักขระเริ่มต้น: $A(0)$

กฎการเปลี่ยน 1 : $A(d) : d > 0 \rightarrow A(d-1)$

กฎการเปลี่ยน 2 : $A(d) : d = 0 \rightarrow F(1)[+A(D)][-A(D)]F(1)A(0)$

กฎการเปลี่ยน 3 : $F(a) : d > 0 \rightarrow F(a \cdot R)$

เมื่อกำหนดค่าพารามิเตอร์ดังตาราง 3.3 เมื่อผ่านขั้นตอนการทำซ้ำแล้ว จะแสดงได้ดังรูป 3.14 ซึ่งจะเห็นว่าสามารถสร้างภาพกราฟิกใบของพืชได้ เมื่อกำหนดค่าคงที่ที่แตกต่างกันดังรูป

รูป	D	R	จำนวน รอบ
a	0	2.00	10
b	1	1.50	16
c	2	1.36	21
d	4	1.23	30
e	7	1.17	45

ตาราง 3.3 ค่าพารามิเตอร์ต่างๆของตัวอย่าง 3.8



รูปที่ 3.14 ภาพกราฟิกใบของพืชที่ได้จาก Parametric L-System

ศูนย์วิทยทรัพยากร
จุฬาลงกรณ์มหาวิทยาลัย